

Fuente Sismogénica F1 (Subducción de Intertase)  
Modelo Exponencial de Gutenberg y Richter (1944)

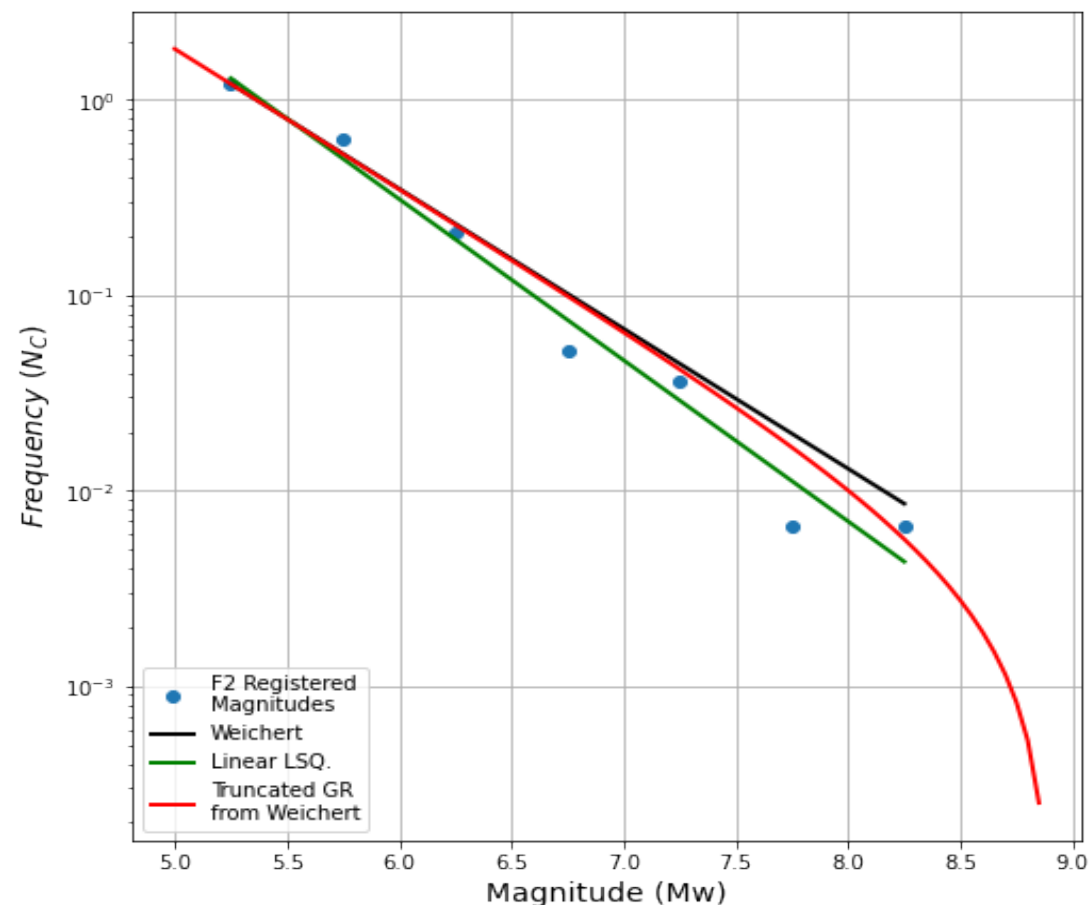
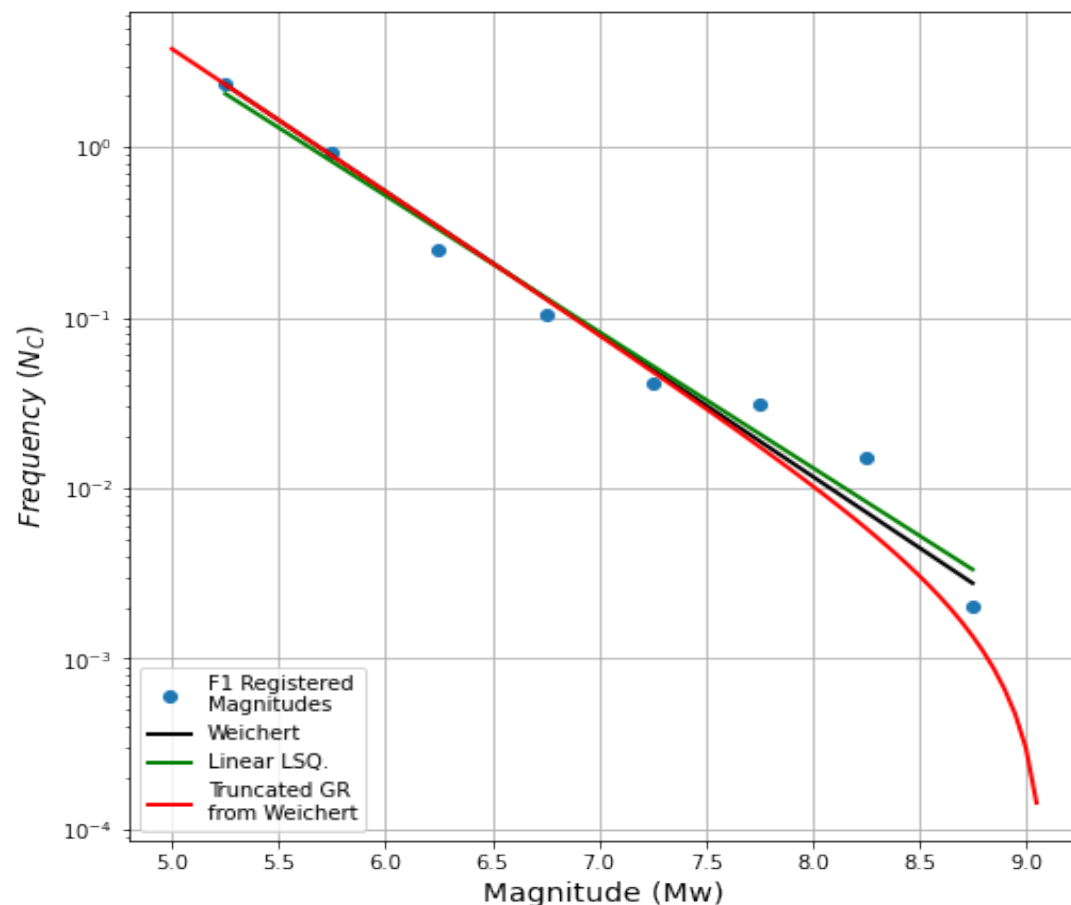
Resultados

| $M_{min}$ | $M_{exp}$ | $a$   | $\beta$ | $\lambda$ |
|-----------|-----------|-------|---------|-----------|
| 5.0       | 9.1       | 4.735 | 1.924   | 2.331     |

Fuente Sismogénica F2 (Subducción de Intertase)  
Modelo Exponencial de Gutenberg y Richter (1944)

Resultados

| $M_{min}$ | $M_{exp}$ | $a$   | $\beta$ | $\lambda$ |
|-----------|-----------|-------|---------|-----------|
| 5.0       | 8.9       | 3.844 | 1.649   | 1.211     |



Abreviaturas:

$N_c$ : Número promedio de sismos por año de magnitud superior o igual a 5.

$M_w$ : Magnitud Momento.

ESTUDIO DE PELIGRO SÍSMICO - PUENTE ANSAMANI

CLIENTE:



CONSULTOR:



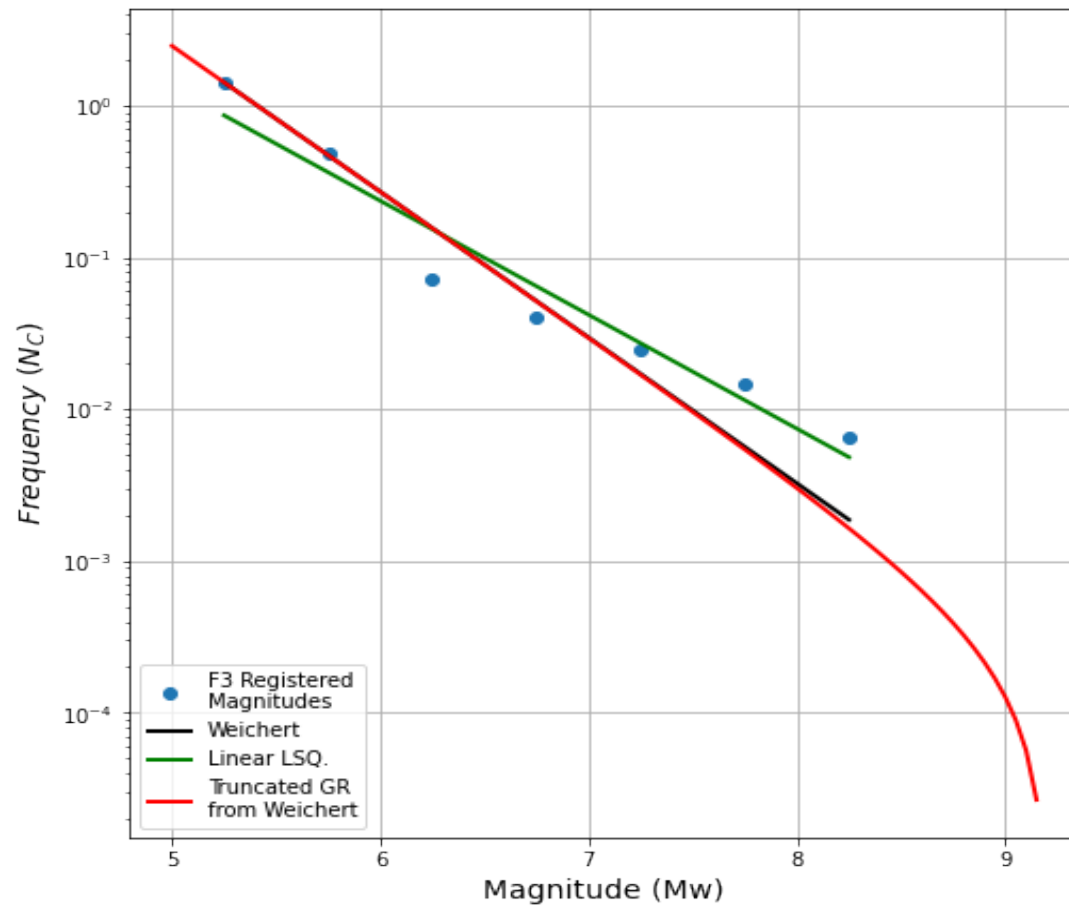
PARÁMETROS DE RECURRENCIA SÍSMICA DE LAS  
FUENTES SISMOGÉNICAS DE SUBDUCCIÓN DE  
INTERFASE F1 Y F2 CON EL MODELO EXPONENCIAL DE  
GUTENBERG Y RICHTER (1944)

Figura A.1

Fuente Sismogénica F3 (Subducción de Interfase)  
Modelo Exponencial de Gutenberg y Richter (1944)

Resultados

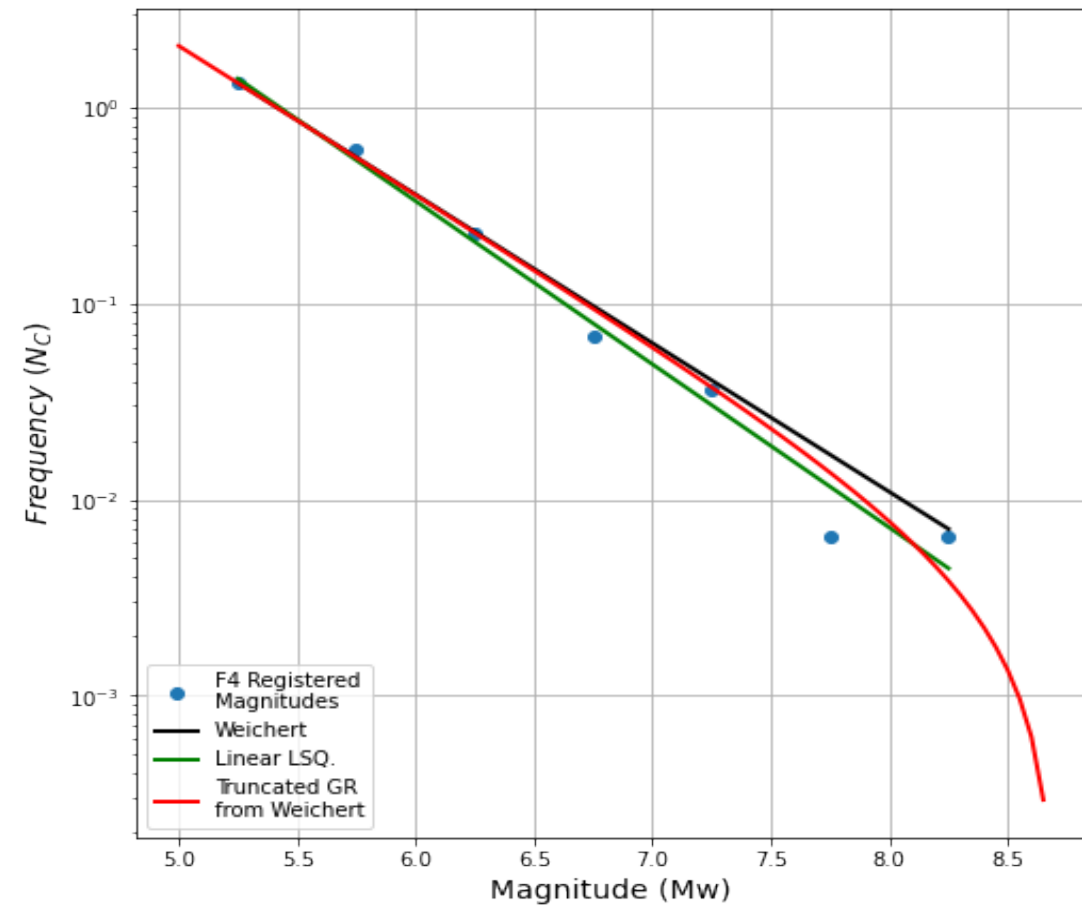
| $M_{min}$ | $M_{exp}$ | $a$   | $\beta$ | $\lambda$ |
|-----------|-----------|-------|---------|-----------|
| 5.0       | 9.2       | 5.196 | 2.212   | 1.423     |



Fuente Sismogénica F4 (Subducción de Intraplaca)  
Modelo Exponencial de Gutenberg y Richter (1944)

Resultados

| $M_{min}$ | $M_{exp}$ | $a$    | $\beta$ | $\lambda$ |
|-----------|-----------|--------|---------|-----------|
| 5.0       | 8.9       | 4.1058 | 1.746   | 1.332     |



Abreviaturas:

$N_c$ : Número promedio de sismos por año de magnitud superior o igual a 5.

$M_w$ : Magnitud Momento.

ESTUDIO DE PELIGRO SÍSMICO - PUENTE ANSAMANI

CLIENTE:



CONSULTOR:

**EBC**  
INGENIERIA

PARÁMETROS DE RECURRENCIA SÍSMICA DE LAS  
FUENTES SISMOGÉNICAS DE SUBDUCCIÓN DE  
INTERFASE F3 Y DE INTRAPLACA F4 CON EL MODELO  
EXPONENCIAL DE GUTENBERG Y RICHTER (1944)

Figura A.2

Fuente Sismogénica F5 (Subducción de Intraplaca)  
Modelo Exponencial de Gutenberg y Richter (1944)

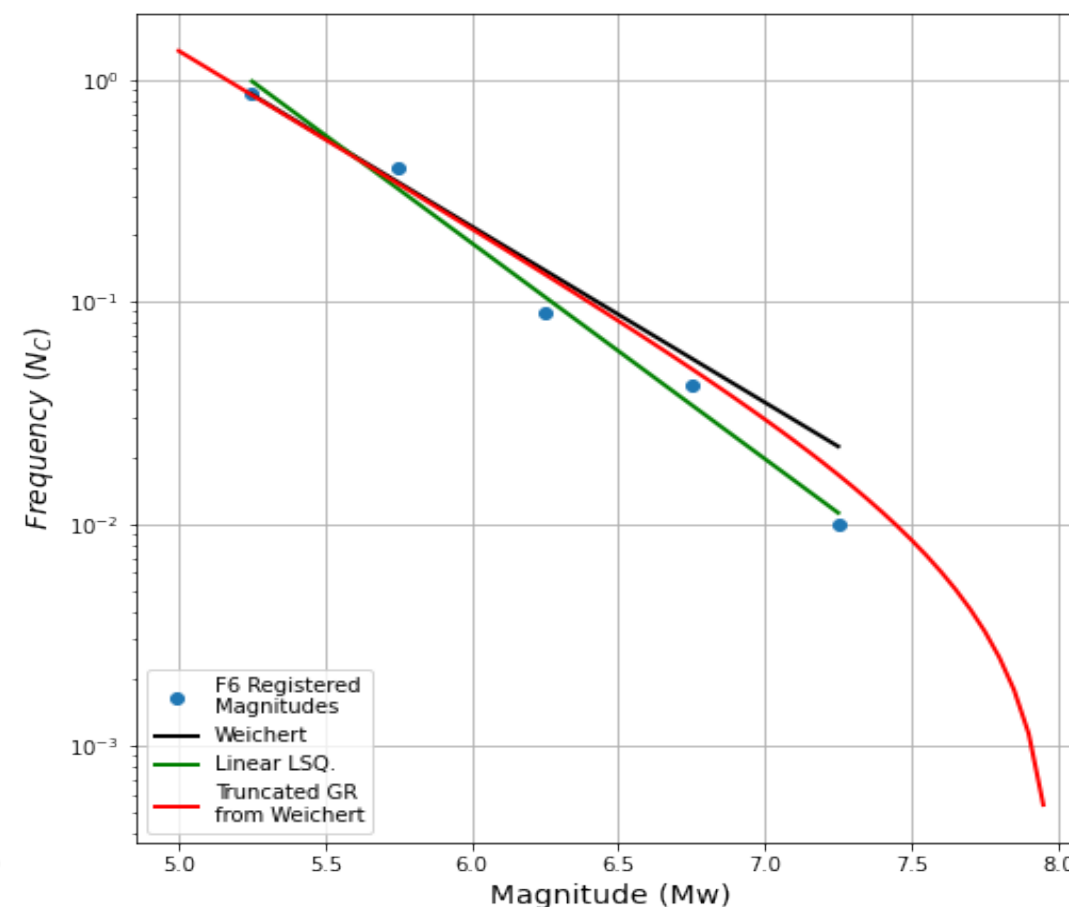
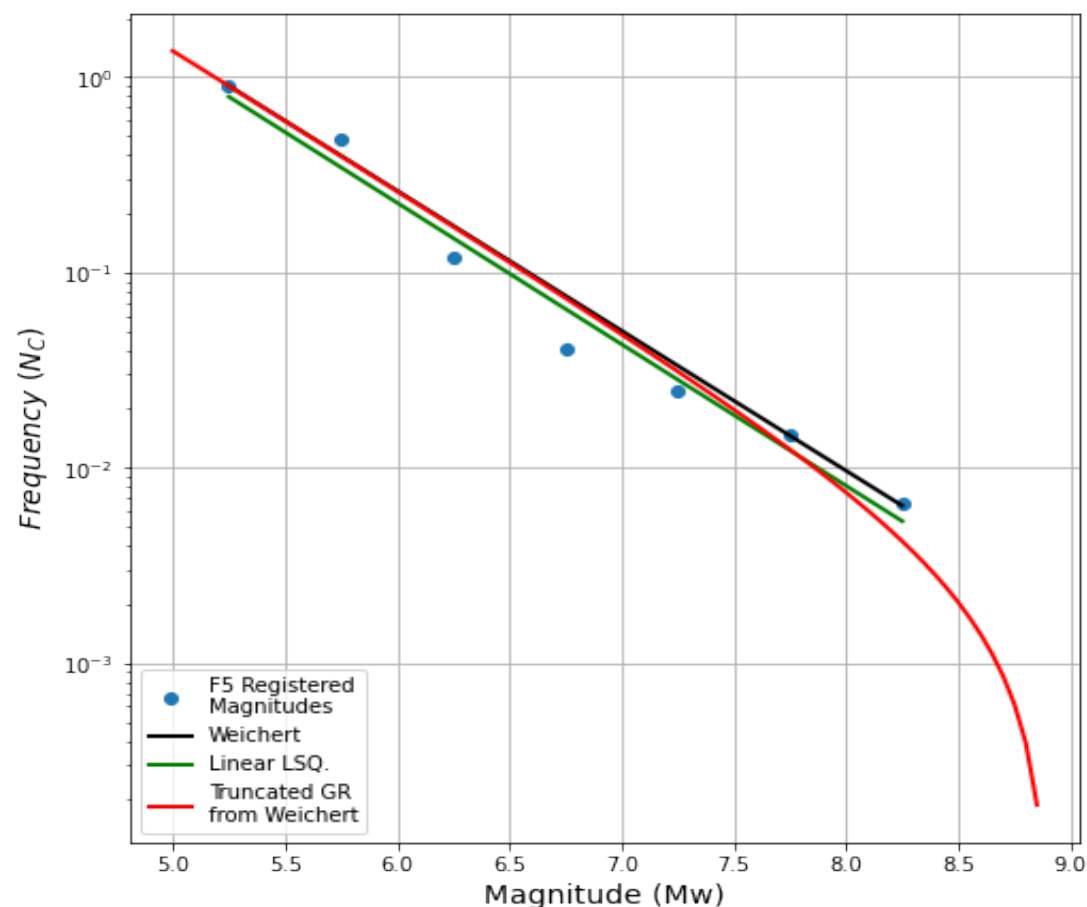
Resultados

| $M_{min}$ | $M_{exp}$ | $a$   | $\beta$ | $\lambda$ |
|-----------|-----------|-------|---------|-----------|
| 5.0       | 8.9       | 3.719 | 0.717   | 0.904     |

Fuente Sismogénica F6 (Subducción de Intraplaca)  
Modelo Exponencial de Gutenberg y Richter (1944)

Resultados

| $M_{min}$ | $M_{exp}$ | $a$   | $\beta$ | $\lambda$ |
|-----------|-----------|-------|---------|-----------|
| 5.0       | 8.0       | 4.094 | 1.825   | 0.857     |



Abreviaturas:

$N_c$ : Número promedio de sismos por año de magnitud superior o igual a 5.

$M_w$ : Magnitud Momento.

ESTUDIO DE PELIGRO SÍSMICO - PUENTE ANSAMANI

CLIENTE:



CONSULTOR:



PARÁMETROS DE RECURRENCIA SÍSMICA DE LAS  
FUENTES SISMOGÉNICAS DE SUBDUCCIÓN DE  
INTRAPLACA F5 Y F6 CON EL MODELO EXPONENCIAL  
DE GUTENBERG Y RICHTER (1944)

Figura A.3

Fuente Sismogénica F7 (Subducción de Intraplaca)  
Modelo Exponencial de Gutenberg y Richter (1944)

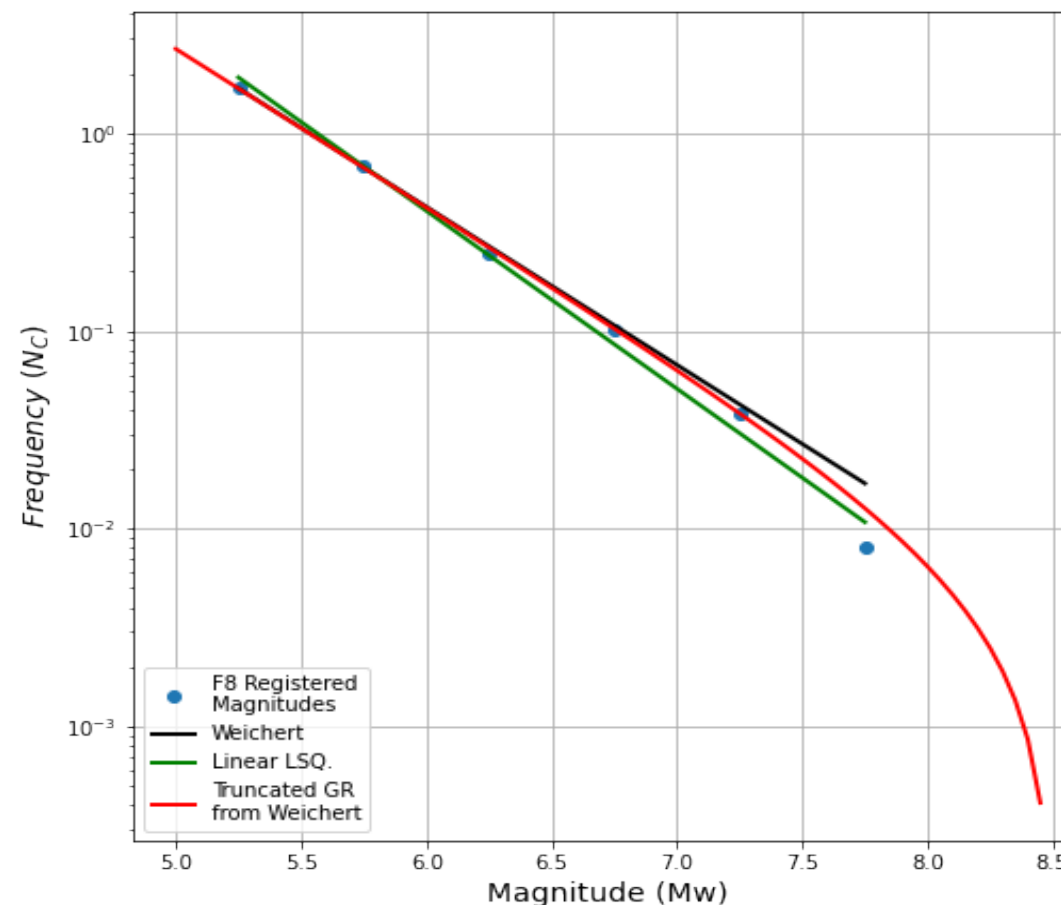
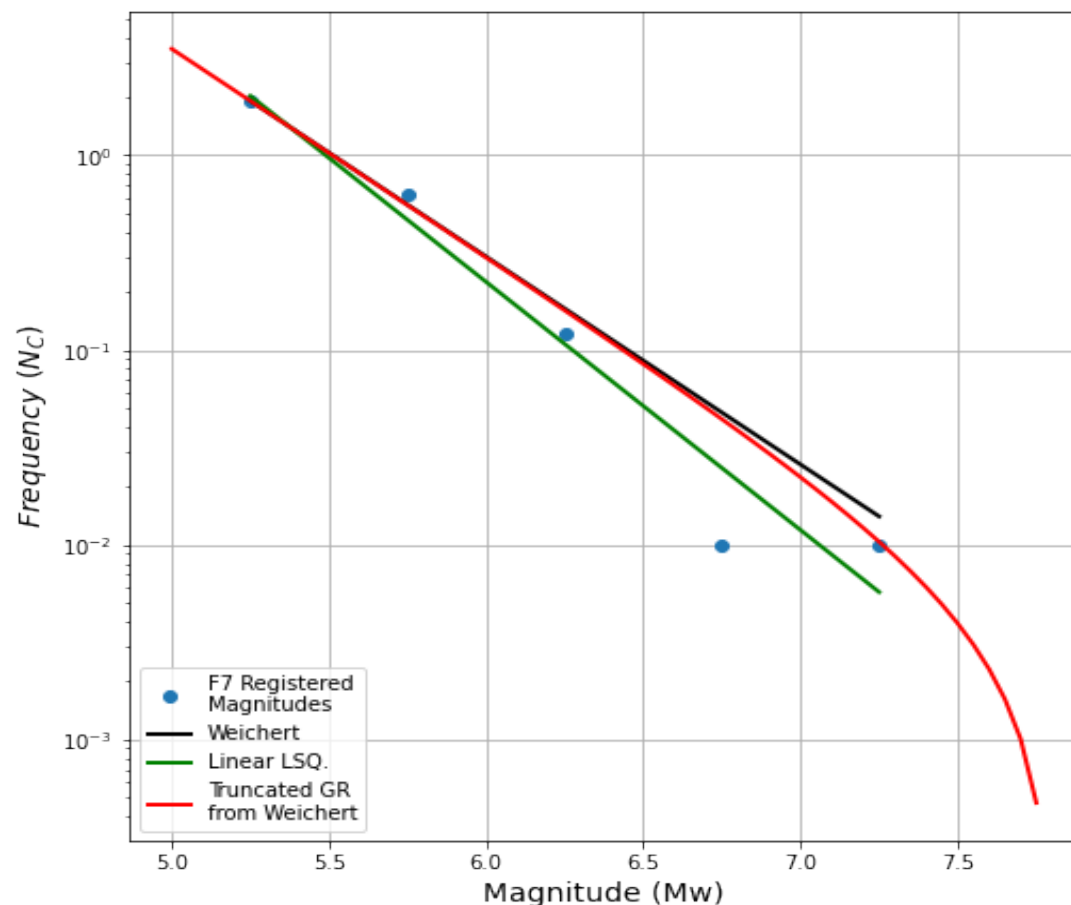
Resultados

| $M_{min}$ | $M_{exp}$ | $a$   | $\beta$ | $\lambda$ |
|-----------|-----------|-------|---------|-----------|
| 5.0       | 7.8       | 5.882 | 2.457   | 1.902     |

Fuente Sismogénica F8 (Subducción de Intraplaca)  
Modelo Exponencial de Gutenberg y Richter (1944)

Resultados

| $M_{min}$ | $M_{exp}$ | $a$   | $\beta$ | $\lambda$ |
|-----------|-----------|-------|---------|-----------|
| 5.0       | 8.5       | 4.424 | 1.841   | 1.687     |



Abreviaturas:

$N_c$ : Número promedio de sismos por año de magnitud superior o igual a 5.

$M_w$ : Magnitud Momento.

ESTUDIO DE PELIGRO SÍSMICO - PUENTE ANSAMANI

CLIENTE:



CONSULTOR:

**EBC**  
INGENIERIA

PARÁMETROS DE RECURRENCIA SÍSMICA DE LAS  
FUENTES SISMOGÉNICAS DE SUBDUCCIÓN DE  
INTRAPLACA F7 Y F8 CON EL MODELO EXPONENCIAL  
DE GUTENBERG Y RICHTER (1944)

Figura A.4

Fuente Sismogénica F9 (Subducción de Intraplaca)  
Modelo Exponencial de Gutenberg y Richter (1944)

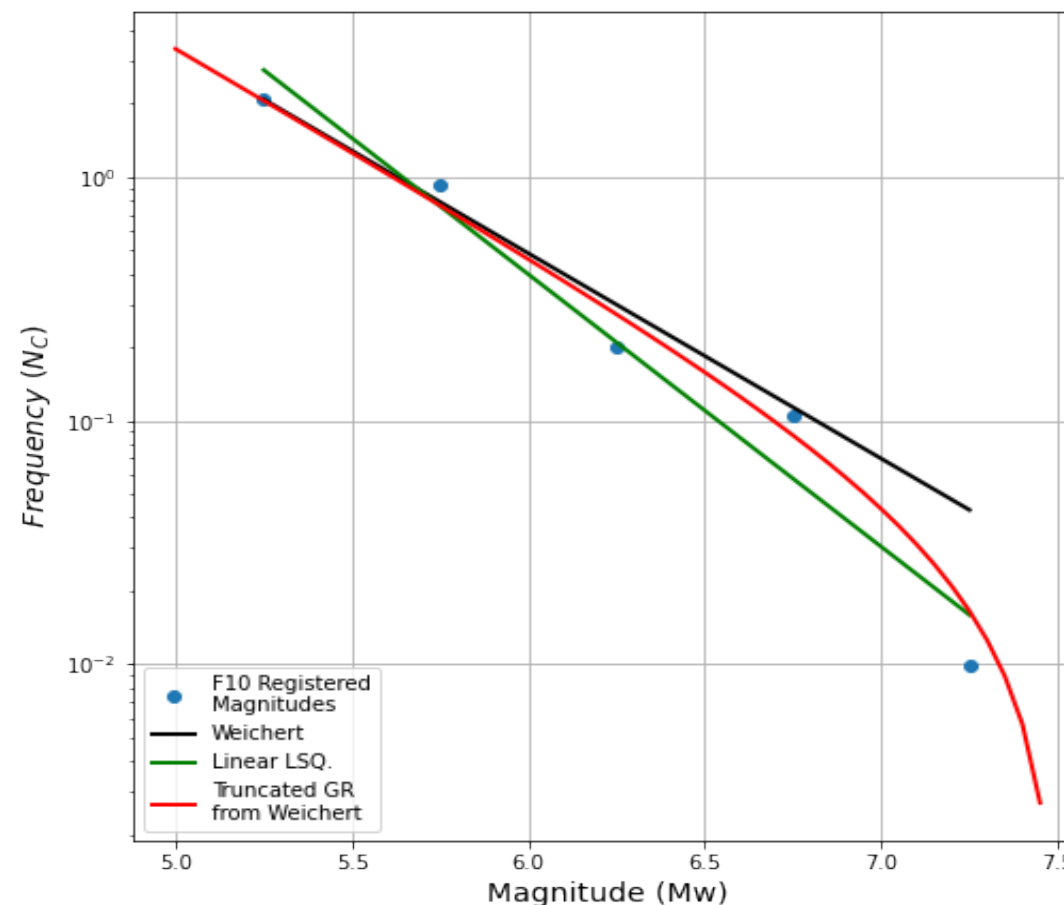
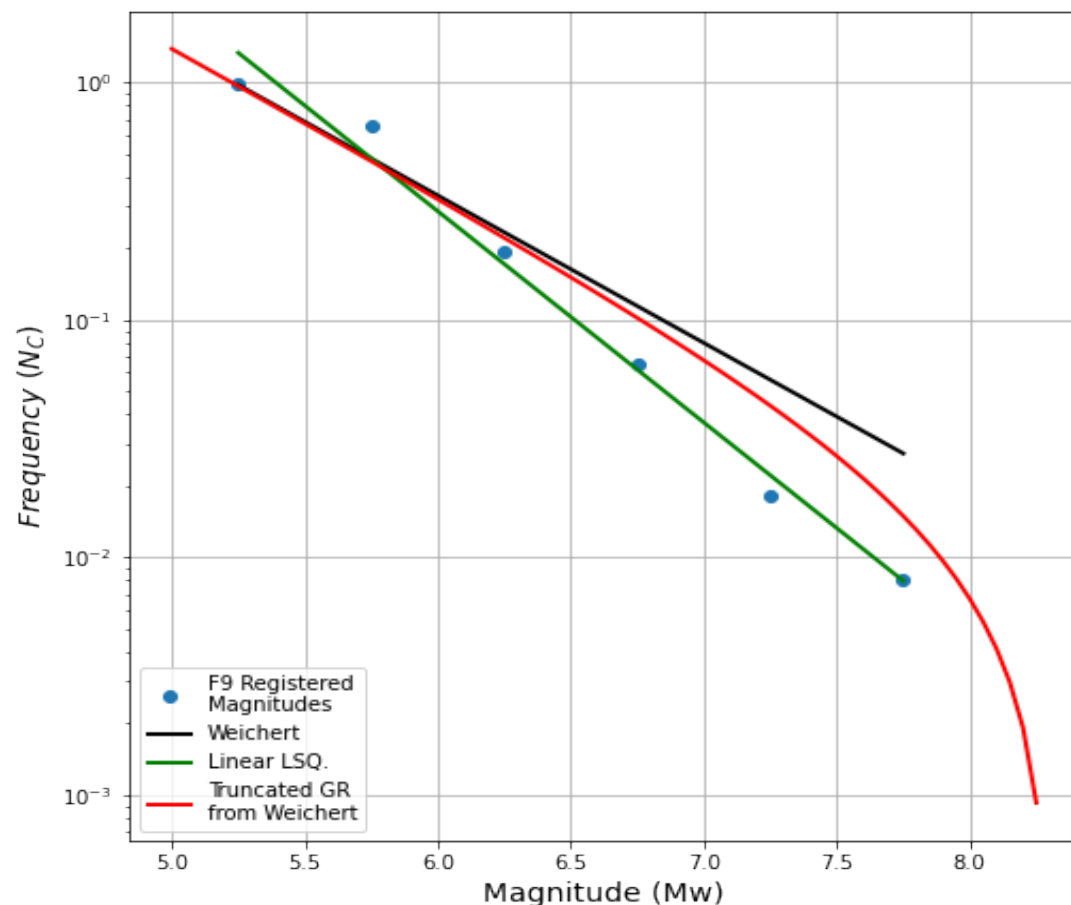
Resultados

| $M_{min}$ | $M_{exp}$ | $a$   | $\beta$ | $\lambda$ |
|-----------|-----------|-------|---------|-----------|
| 5.0       | 8.3       | 3.250 | 1.423   | 0.977     |

Fuente Sismogénica F10 (Subducción de Intraplaca)  
Modelo Exponencial de Gutenberg y Richter (1944)

Resultados

| $M_{min}$ | $M_{exp}$ | $a$   | $\beta$ | $\lambda$ |
|-----------|-----------|-------|---------|-----------|
| 5.0       | 7.5       | 4.742 | 1.940   | 2.082     |



Abreviaturas:

$N_c$ : Número promedio de sismos por año de magnitud superior o igual a 5.

$M_w$ : Magnitud Momento.

ESTUDIO DE PELIGRO SÍSMICO - PUENTE ANSAMANI

CLIENTE:



CONSULTOR:

**EBC**  
INGENIERIA

PARÁMETROS DE RECURRENCIA SÍSMICA DE LAS  
FUENTES SISMOGÉNICAS DE SUBDUCCIÓN DE  
INTRAPLACA F9 Y F10 CON EL MODELO EXPONENCIAL  
DE GUTENBERG Y RICHTER (1944)

Figura A.5

Fuente Sismogénica F11 (Subducción de Intraplaca)  
Modelo Exponencial de Gutenberg y Richter (1944)

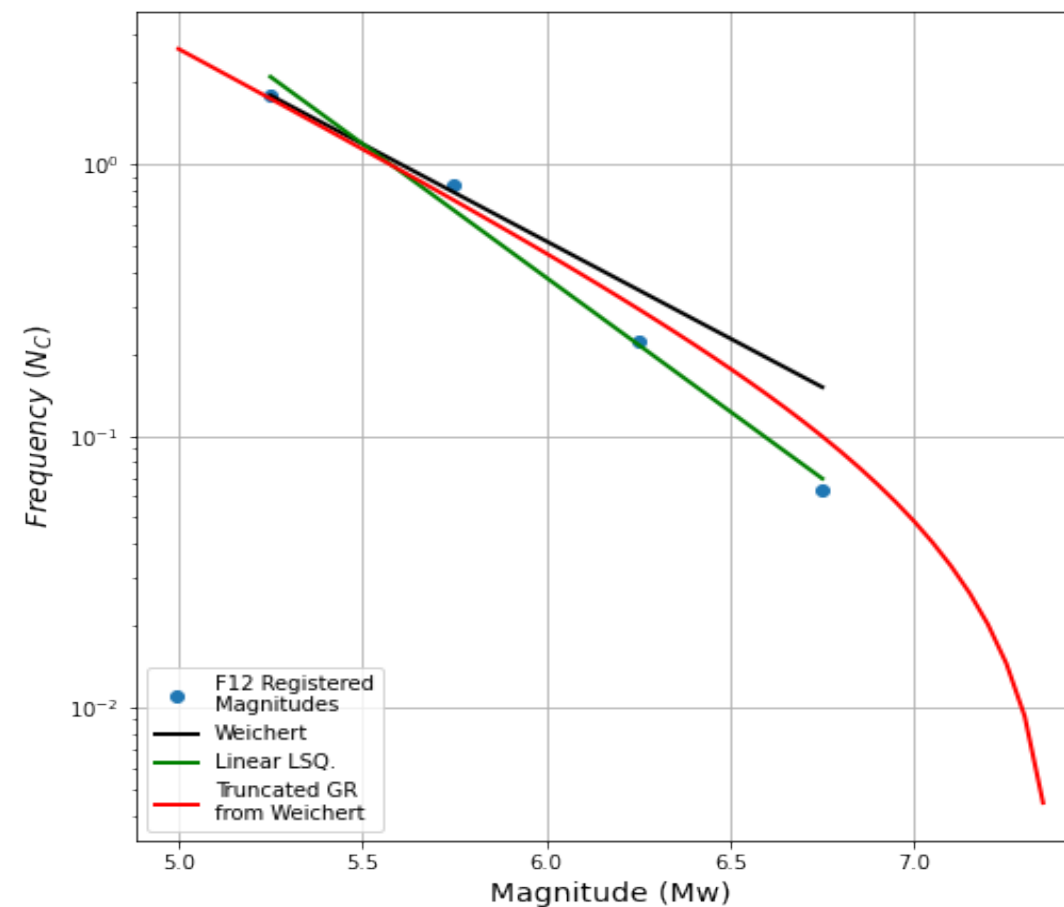
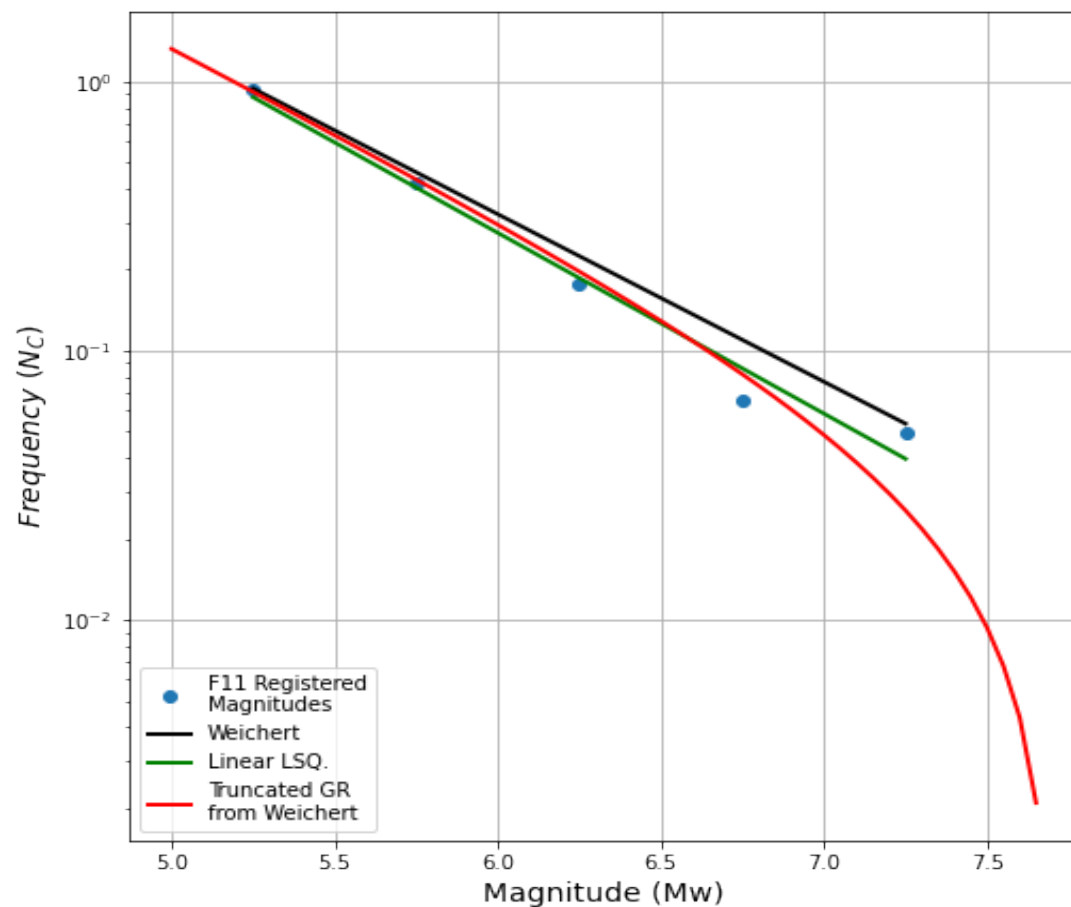
Resultados

| $M_{\min}$ | $M_{\exp}$ | $a$   | $\beta$ | $\lambda$ |
|------------|------------|-------|---------|-----------|
| 5.0        | 7.7        | 3.243 | 1.434   | 0.943     |

Fuente Sismogénica F12 (Subducción de Intraplaca)  
Modelo Exponencial de Gutenberg y Richter (1944)

Resultados

| $M_{\min}$ | $M_{\exp}$ | $a$   | $\beta$ | $\lambda$ |
|------------|------------|-------|---------|-----------|
| 5.0        | 7.4        | 4.016 | 1.649   | 1.795     |



Abreviaturas:

$N_c$ : Número promedio de sismos por año de magnitud superior o igual a 5.

$M_w$ : Magnitud Momento.

ESTUDIO DE PELIGRO SÍSMICO - PUENTE ANSAMANI

CLIENTE:



CONSULTOR:

**EBC**  
INGENIERIA

PARÁMETROS DE RECURRENCIA SÍSMICA DE LAS  
FUENTES SISMOGÉNICAS DE SUBDUCCIÓN DE  
INTRAPLACA F11 Y F12 CON EL MODELO EXPONENCIAL  
DE GUTENBERG Y RICHTER (1944)

Figura A.6

Fuente Sismogénica F13 (Subducción de Intraplaca)  
Modelo Exponencial de Gutenberg y Richter (1944)

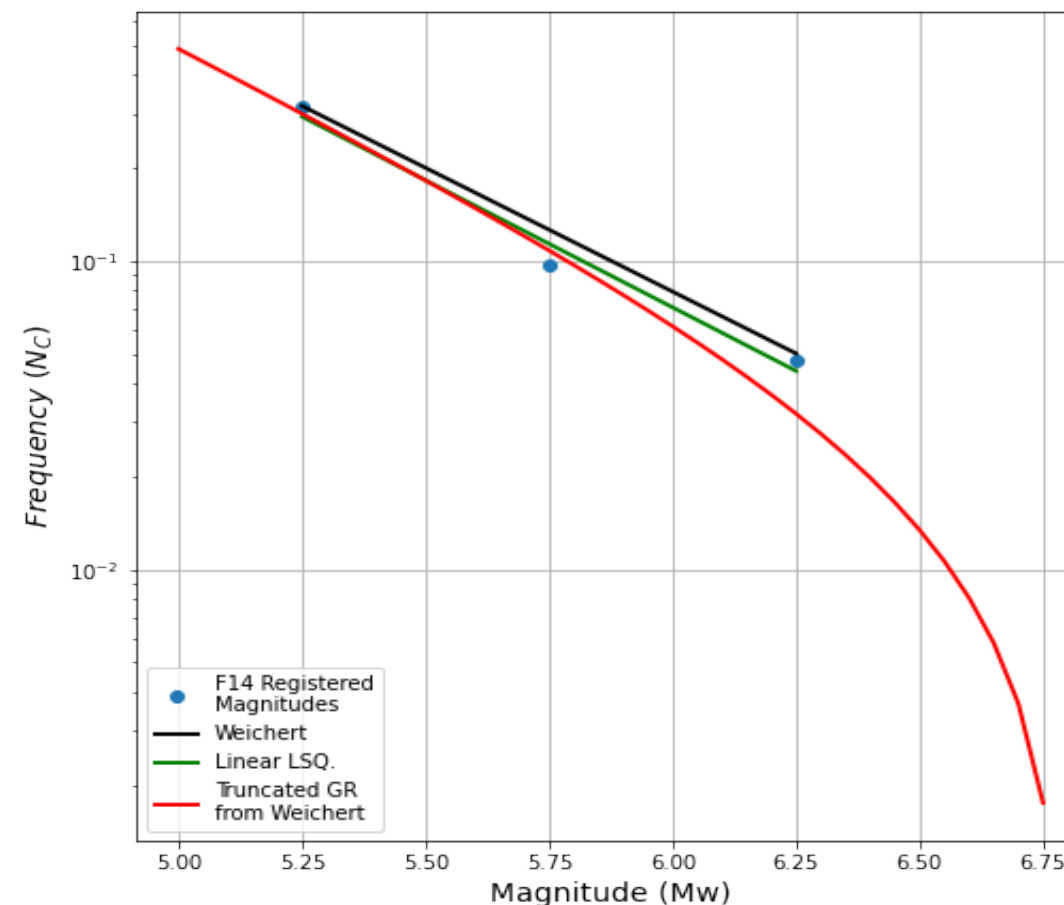
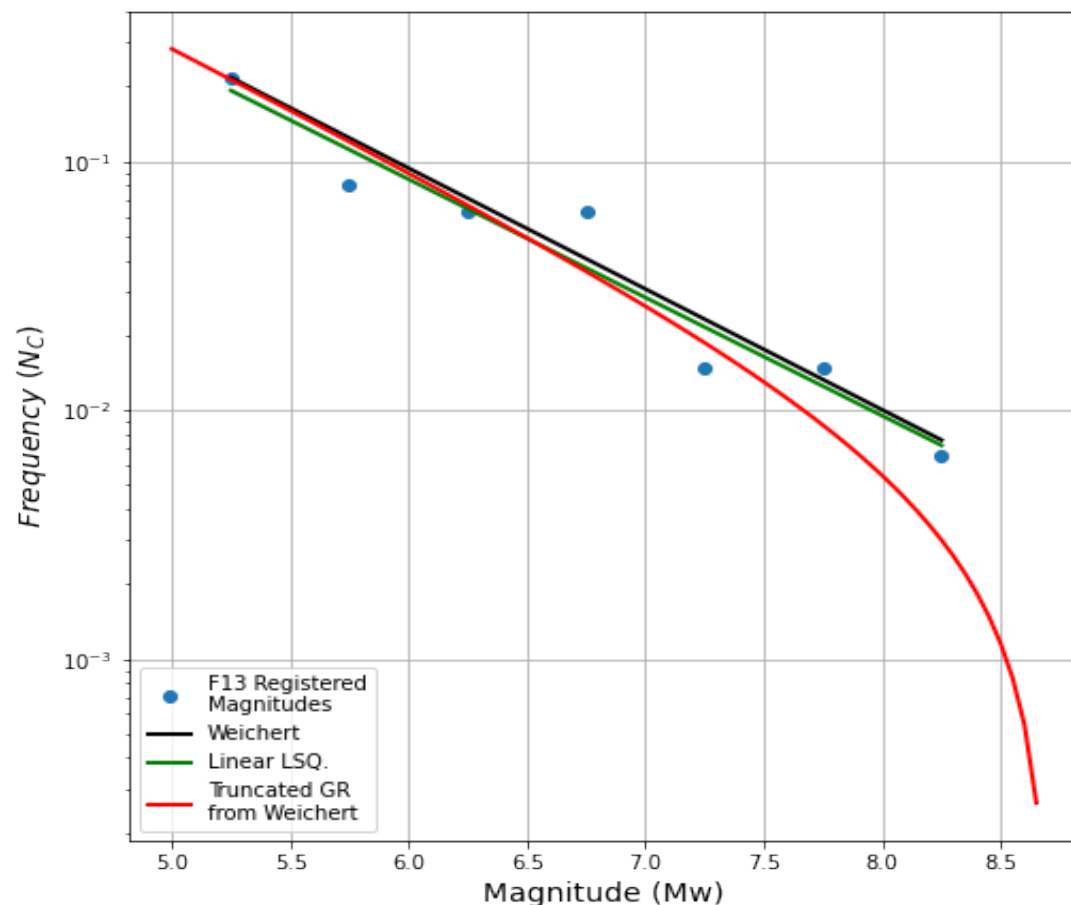
Resultados

| $M_{min}$ | $M_{exp}$ | $a$   | $\beta$ | $\lambda$ |
|-----------|-----------|-------|---------|-----------|
| 5.0       | 8.7       | 1.887 | 1.118   | 0.217     |

Fuente Sismogénica F14 (Continental o Corteza)  
Modelo Exponencial de Gutenberg y Richter (1944)

Resultados

| $M_{min}$ | $M_{exp}$ | $a$   | $\beta$ | $\lambda$ |
|-----------|-----------|-------|---------|-----------|
| 5.0       | 6.8       | 3.709 | 1.845   | 0.317     |



Abreviaturas:

$N_c$ : Número promedio de sismos por año de magnitud superior o igual a 5.

$M_w$ : Magnitud Momento.

ESTUDIO DE PELIGRO SÍSMICO - PUENTE ANSAMANI

CLIENTE:



CONSULTOR:

**EBC**  
INGENIERIA

PARÁMETROS DE RECURRENCIA SÍSMICA DE LAS  
FUENTES SISMOGÉNICAS DE SUBDUCCIÓN DE  
INTRAPLACA F13 Y CORTEZA F14 CON EL MODELO  
EXPONENCIAL DE GUTENBERG Y RICHTER (1944)

Figura A.7

Fuente Sismogénica F15 (Continental o Corteza)  
Modelo Exponencial de Gutenberg y Richter (1944)

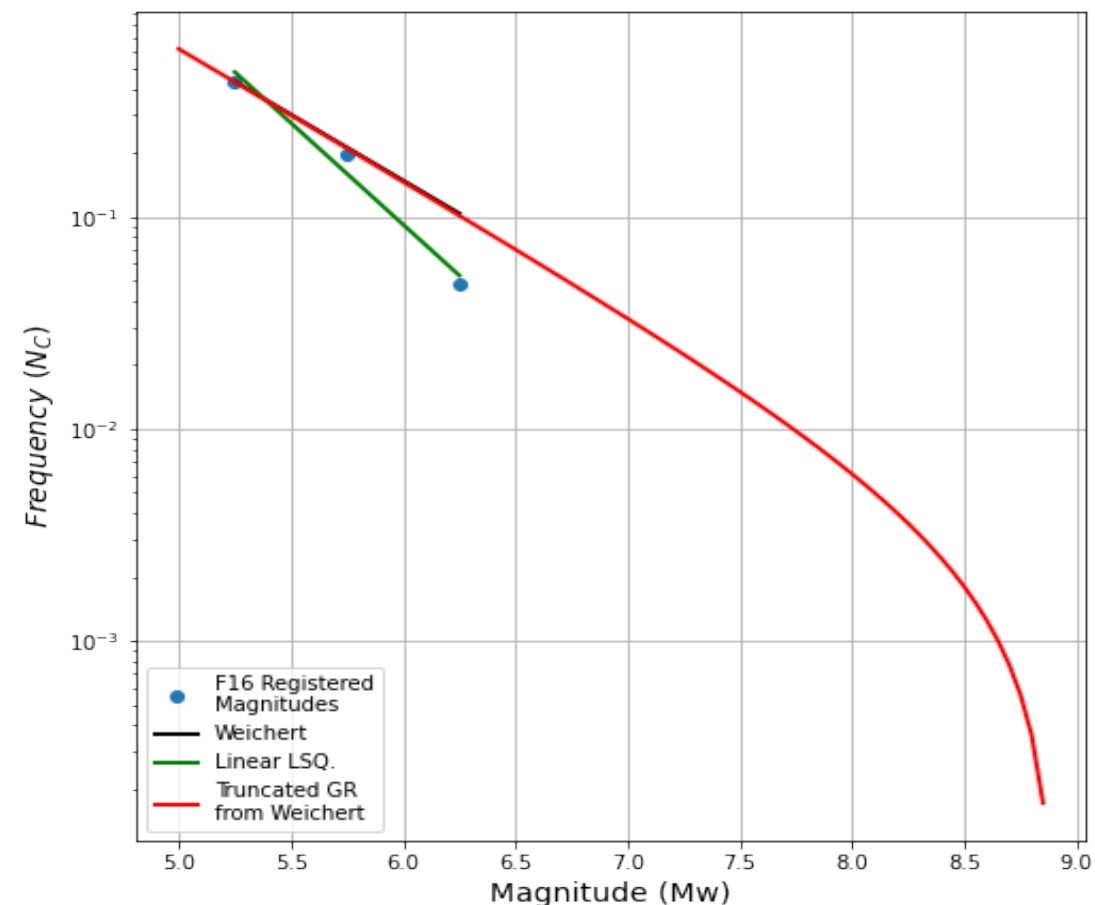
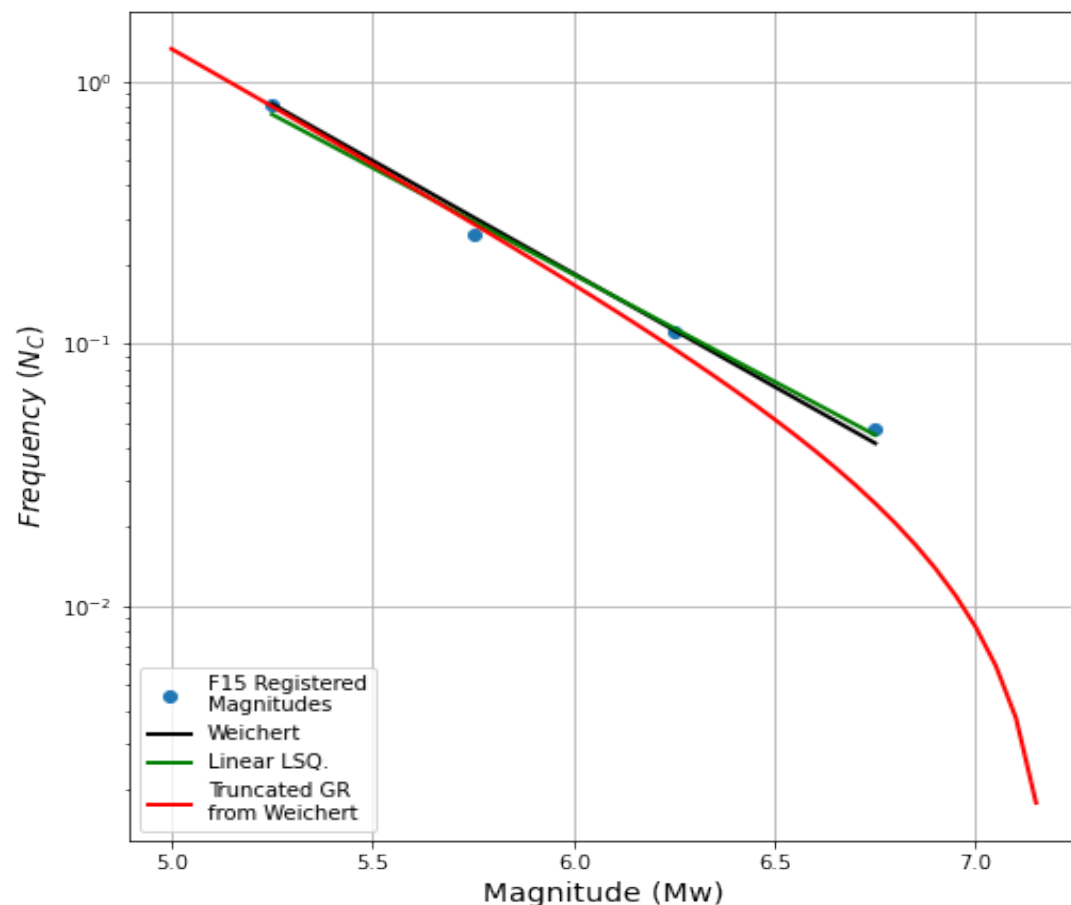
Resultados

| $M_{min}$ | $M_{exp}$ | $a$   | $\beta$ | $\lambda$ |
|-----------|-----------|-------|---------|-----------|
| 5.0       | 7.2       | 4.434 | 1.983   | 0.817     |

Fuente Sismogénica F16 (Continental o Corteza)  
Modelo Exponencial de Gutenberg y Richter (1944)

Resultados

| $M_{min}$ | $M_{exp}$ | $a$   | $\beta$ | $\lambda$ |
|-----------|-----------|-------|---------|-----------|
| 5.0       | 8.9       | 2.899 | 1.432   | 0.433     |



Abreviaturas:

$N_c$ : Número promedio de sismos por año de magnitud superior o igual a 5.

$M_w$ : Magnitud Momento.

ESTUDIO DE PELIGRO SÍSMICO - PUENTE ANSAMANI

CLIENTE:



CONSULTOR:



PARÁMETROS DE RECURRENCIA SÍSMICA DE LAS  
FUENTES SISMOGÉNICAS CONTINENTALES O DE  
CORTEZA SUPERFICIAL F15 Y F16 CON EL MODELO  
EXPONENCIAL DE GUTENBERG Y RICHTER (1944)

Figura A.8



Fuente Sismogénica F17 (Continental o Corteza)  
Modelo Exponencial de Gutenberg y Richter (1944)

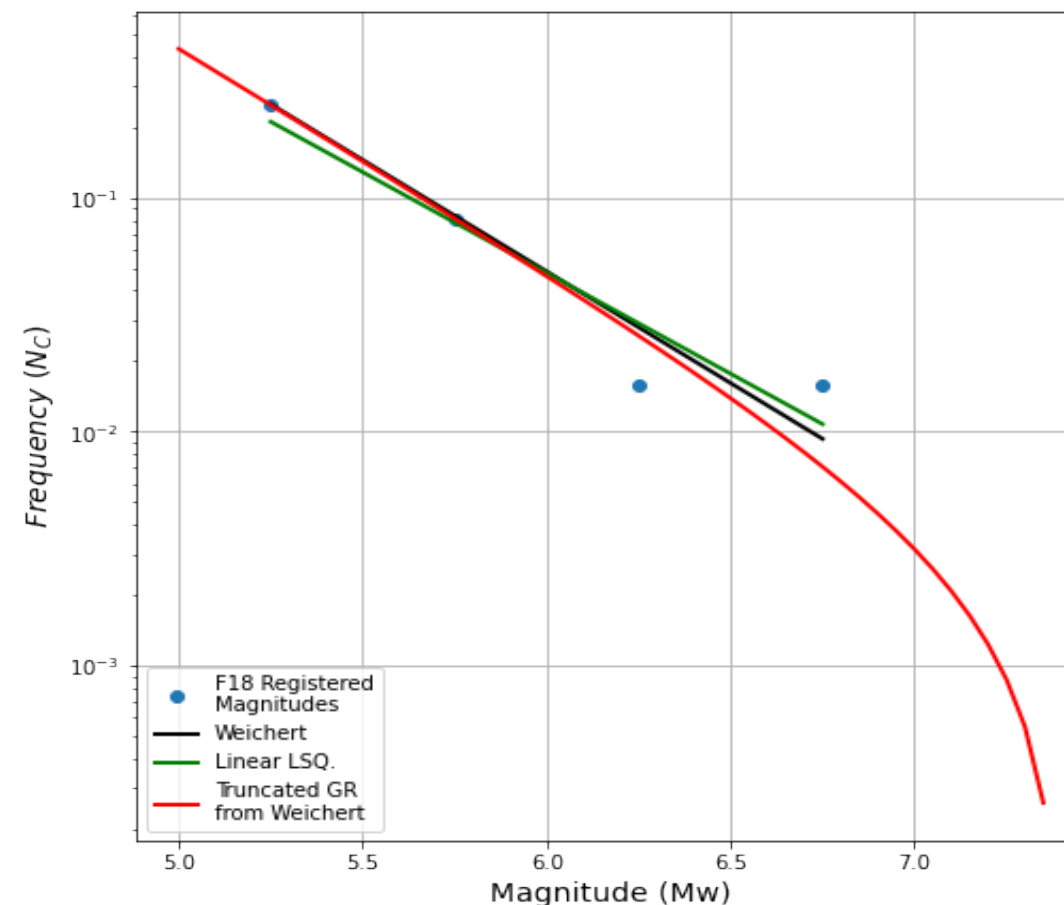
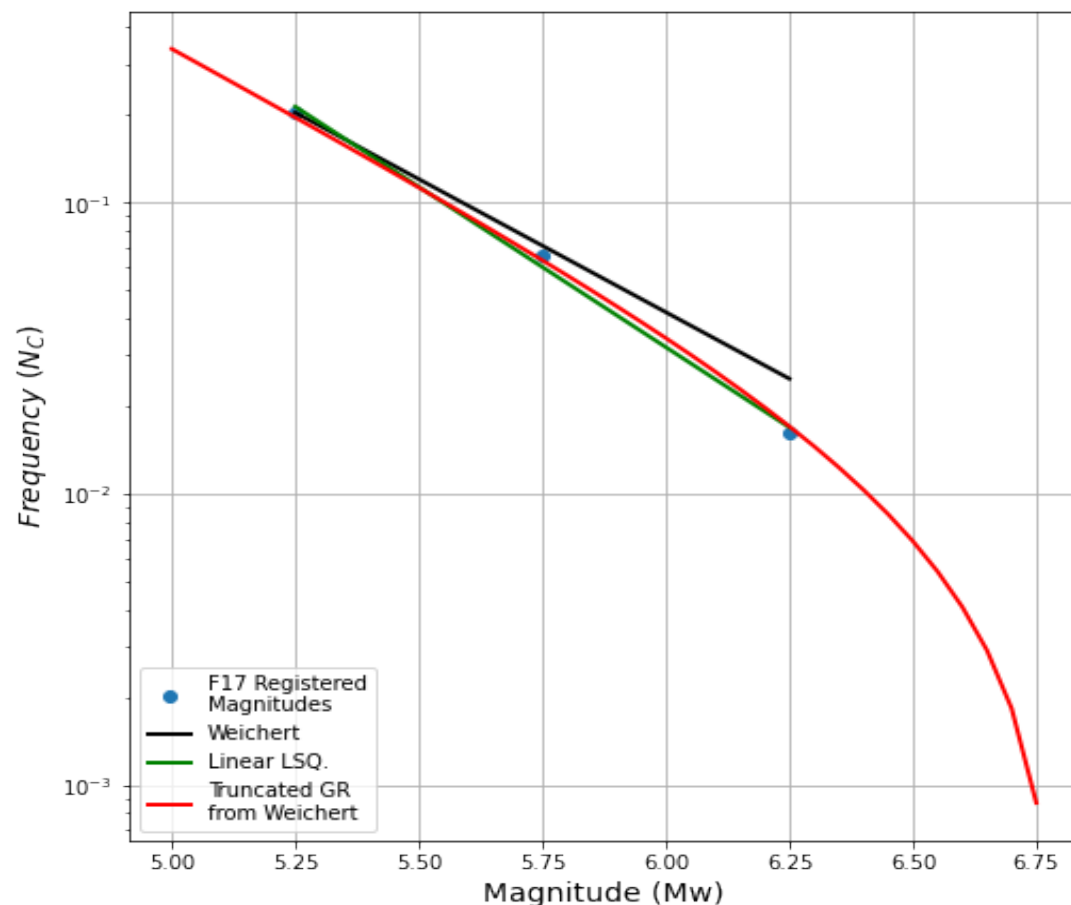
Resultados

| $M_{min}$ | $M_{exp}$ | $a$   | $\beta$ | $\lambda$ |
|-----------|-----------|-------|---------|-----------|
| 5.0       | 6.8       | 4.111 | 2.106   | 0.204     |

Fuente Sismogénica F18 (Continental o Corteza)  
Modelo Exponencial de Gutenberg y Richter (1944)

Resultados

| $M_{min}$ | $M_{exp}$ | $a$   | $\beta$ | $\lambda$ |
|-----------|-----------|-------|---------|-----------|
| 5.0       | 7.4       | 4.405 | 2.195   | 0.251     |



Abreviaturas:

$N_c$ : Número promedio de sismos por año de magnitud superior o igual a 5.

$M_w$ : Magnitud Momento.

ESTUDIO DE PELIGRO SÍSMICO - PUENTE ANSAMANI

CLIENTE:



CONSULTOR:



PARÁMETROS DE RECURRENCIA SÍSMICA DE LAS FUENTES SISMOGÉNICAS CONTINENTALES O DE CORTEZA SUPERFICIAL F17 Y F18 CON EL MODELO EXPONENCIAL DE GUTENBERG Y RICHTER (1944)

Figura A.9